

Determinação da direção de magnetização de corpos geológicos

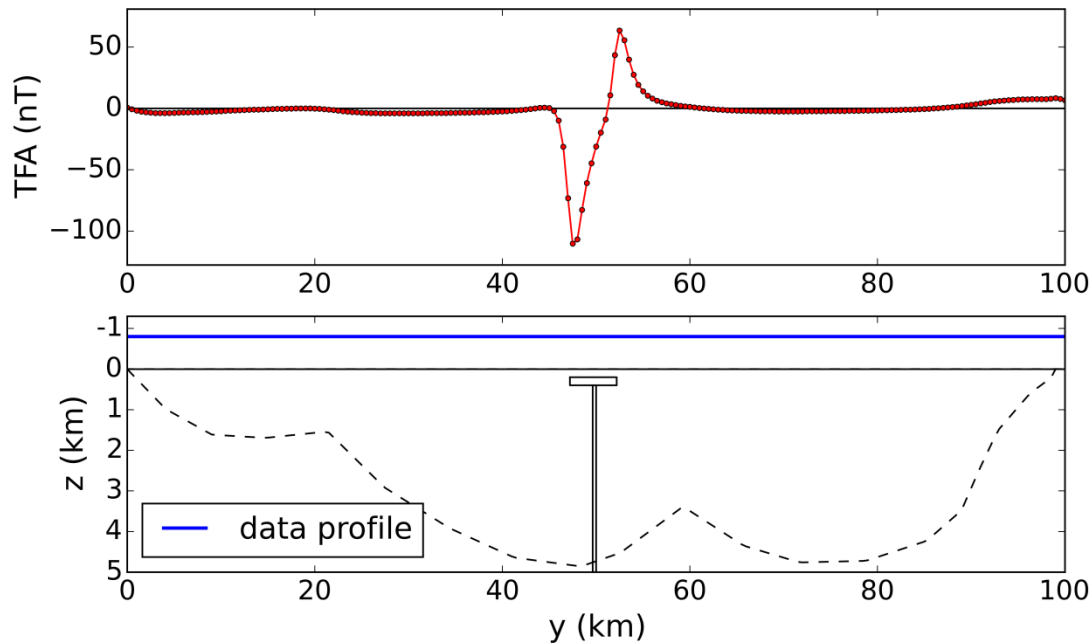
Vanderlei C. Oliveira Jr.

Daiana P. Sales

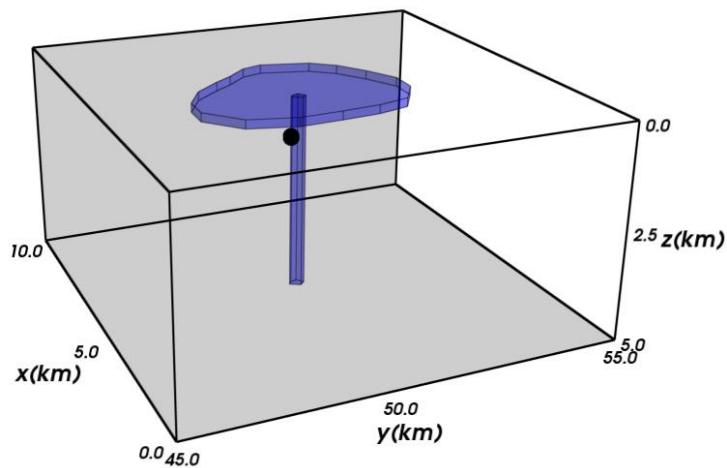
Valéria C. F. Barbosa

Leonardo Uieda

Aplicação a dados sintéticos

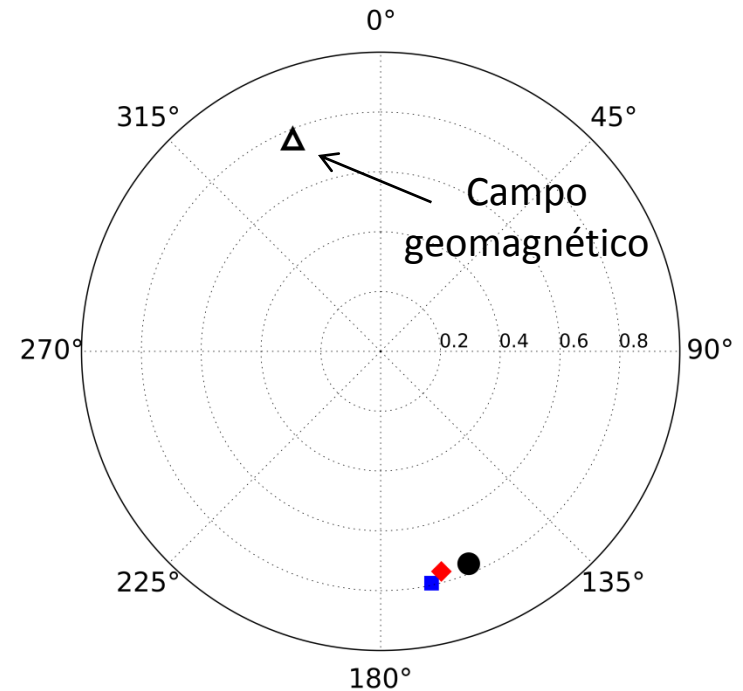


Estimativa da posição (ponto preto) da intrusão
(azul transparente) via deconvolução de Euler



Seção vertical de um modelo 3D
formado por uma intrusão e um
embasamento sintéticos

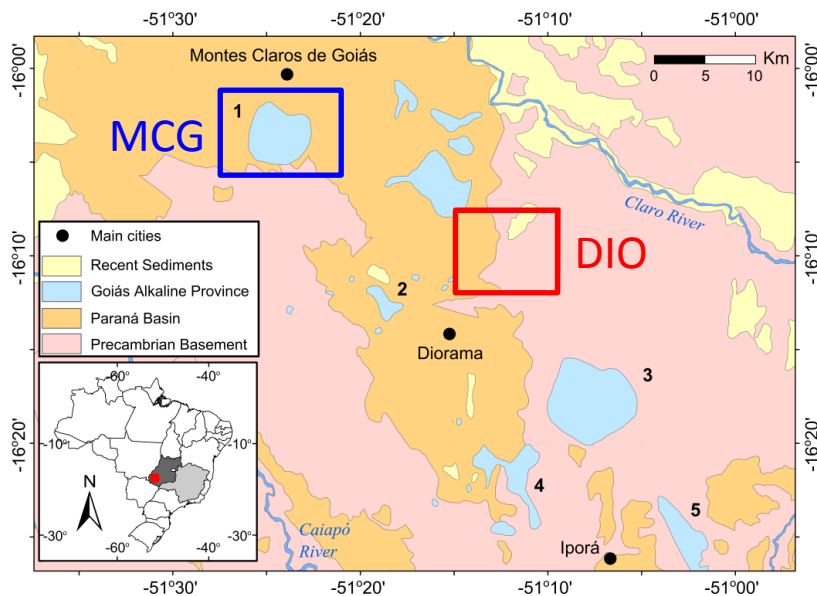
Anomalia de campo total (TFA)
produzida pelos corpos sintéticos
(intrusão + embasamento) sobre
um plano horizontal



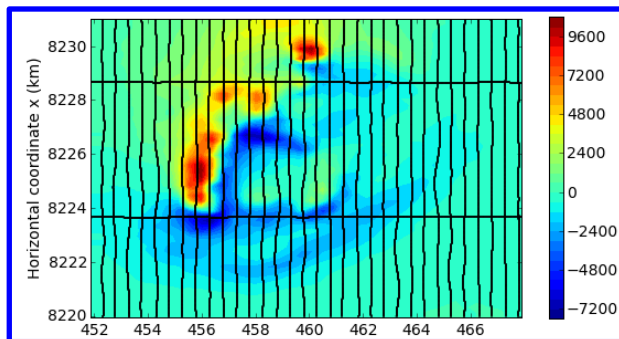
Direção da
magnetização da
intrusão

● Verdadeira
◆ Estimativa 1
■ Estimativa 2

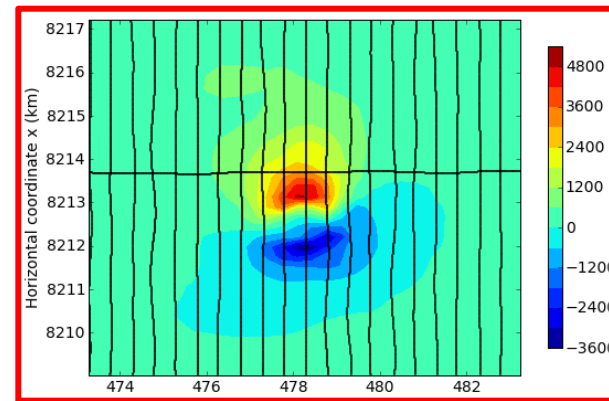
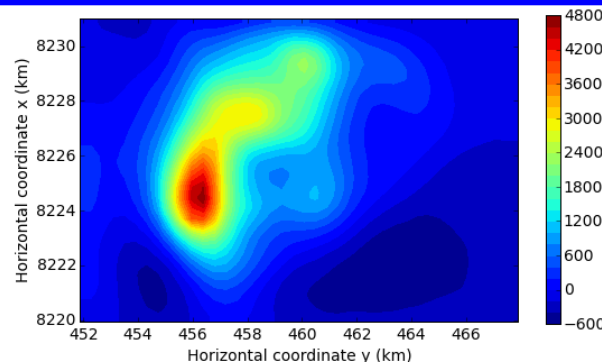
Aplicação na Província Alcalina de Goiás



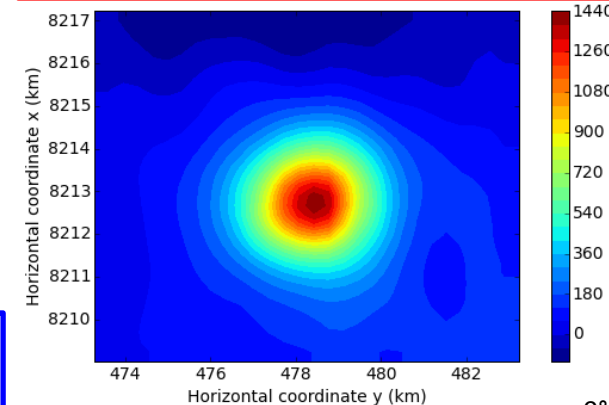
Anomalia de campo total de Montes Claros de Goiás (MCG)



MCG reduzida ao polo com a direção de magnetização previamente estimada para DIO



Anomalia de campo total de Diorama (DIO)



DIO reduzida ao polo com a direção de magnetização estimada

